

大成建設(株) 正員 ○ 須綱功二
 豊田高専 正員 伊東 孝
 名古屋大学 正員 市川康明
 同 上 正員 川本勝万

1.はじめに 本研究では、地盤材料のような圧縮力依存の破壊を示す材料の弾塑性挙動を表現するために、市川¹⁾の提案している多重応答理論にLode角成分を付加して地盤材料の構成則として採用し、さらにHill²⁾の有限ひずみ理論を導入して分岐条件を求める。ここで、せん断帯発生の条件としては、特異面上の幾何学的適応条件を用いている。つぎに、有限要素法によって大変形弾塑性解析を行い、有限変形場でのひずみ局所の条件式をこの結果に適用してせん断帯発生機構を探る。

2. Lode角成分を含む多重応答理論 偏差応力 σ とLode角 σ_θ の関数として、関数 σ'_0 を $\sigma'_0 = \sigma'_0(\sigma', \sigma_\theta)$ のように考えると偏差応力および体積応力と塑性ひずみの応答関数は次のように書くことができる。

$$\sigma'_0 = \frac{\sigma'}{\Theta(\sigma_\theta)} = \hat{\Phi}^p(\varepsilon'^p, \varepsilon^p), \quad \dot{\sigma} = \hat{\Psi}^p(\varepsilon'^p, \varepsilon^p). \quad (1)$$

ただし、 ε^p 、 ε'^p は偏差塑性ひずみ、体積塑性ひずみである。

ここで、応力の時間微分 $\dot{\sigma}$ をCauchy応力のJaumann速度 σ に、塑性ひずみ速度 $\dot{\varepsilon}^p$ を塑性変形速度 d^p に置き換えることにより、有限変形の場合に一般化されるとする弾塑性テンソル L を求めるためにHill²⁾によって提案された理論を導入すると、次の弾塑性構成則を得る。

$$\sigma = Ld \quad (2)$$

$$\begin{aligned} L = D^e - \eta & \left\{ D^e \left(\frac{1}{3h_s} m + \frac{\beta}{3h_v} n \right) \otimes \{D^{e*}(B_{11}m + B_{12}n + B_{13}k)\} \right. \\ & - \left. \{D^e \left(\frac{\mu}{3h_s} m + \frac{1}{3h_v} n \right) \} \otimes \{D^{e*}(B_{21}m + B_{22}n + B_{23}k)\} \right. \\ & - \left. \xi \{D^e \left(\frac{3h_s}{3h_s} m + \frac{3h_\beta}{3h_v} n \right) \} \otimes \{D^{e*}(B_{31}m + B_{32}n + B_{33}k)\} \right\} \end{aligned}$$

ただし、 m, n, k は、偏差応力方向、体積応力方向、 σ_θ 方向の単位テンソル、 h_s, h_v は、せん断成分、体積成分の硬化パラメータ、 μ, β は内部摩擦角、ダイレタンシーパラメータ、 D^{e*} は D^e の随伴テンソルである。

3. 多重応答理論における局所化 Rudnicki and Rice³⁾と

同様の方法で、多重応答理論を適用した場合の極限状態におけるせん断帯の方向とせん断成分の硬化係数 h_s を求める。まず、分岐条件は $\det(L_{2j,k2}) = 0$ と表され、

また、式(2)より

$$\begin{aligned} \frac{3h_s}{G} = \frac{1}{2GK\{ \sqrt{3}\beta\eta m_{22} + \beta\xi(m_{33} - m_{11}) - 2 \} - (4G + 3K)h_v} \\ \left[12G\eta\{ K(\beta\mu - 1) - h_v \} m_{22}^2 - 6\sqrt{3}\mu K h_v m_{22} + 2\eta\{ 8KG \right. \\ \left. (\beta\mu - 1) + (4G + 3K)h_v \} (m_{12}^2 + m_{23}^2) + (4\sqrt{3}G\xi\{ K \right. \\ \left. (\beta\mu - 1) - h_v \} m_{22}(m_{33} - m_{11}) \right] \quad (3) \end{aligned}$$

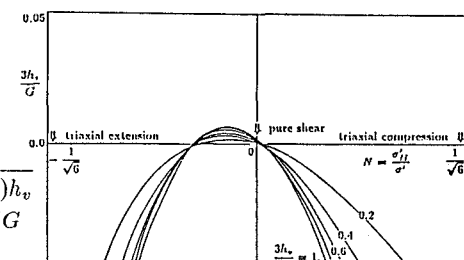


Fig.3 : Variation of the critical $3h_s/G$ with N for the multi-response model including Lode angle σ_θ under various $3h_v/K$.

となる。この式より、極限状態の $3h_s/G$ を $N = \sigma'_II/\sigma'$ ($\sigma'_I > \sigma'_II > \sigma'_{III}$: 偏差主応力)に対して、 $3h_v/K$ を変化させて求めたものをFig. 3に示す。ここで、大谷石のデータより、材料定数を以下のものとした。グラフより、1). 微小ひずみ解析では、せん断帯は h_s が負の状態つまり軟化の領域で発生すると言われているが、大変形解析では、 h_s が正の状態つまり硬化の領域でも発生することがわかる。2). h_v が大きくなるほど、硬化の領域でせん断帯が起こりやすくなる。ということが考察できる。

4 大変形弾塑性解析 Guidotti-Lucchesiの方法⁴⁾に基づき、前章で導いた有限変形場における弾塑性構成則を用いて、有限要素法による大変形弾塑性解析を行う。いま

(つり合い式) : $\operatorname{div}\sigma(x, t) + b(x, t) = 0$, (構成式) : $\sigma = L d$,
 (境界条件) : $u(x, t) = \bar{u}(x, t)$ on S_u (変位境界), $\sigma(x, t) = f_s(x, t) m(x)$ on S_t (応力境界)

とする。つり合い式を弱形式化し、それに Galerkin 有限要素近似を導入すると

$$[\mathbf{K}_t]\{\dot{\mathbf{a}}\} - \{\dot{\mathbf{f}}\} = 0 \quad (4)$$

$$[\mathbf{K}_t] = \sum_{i=1}^5 [\mathbf{K}_i], \quad [\mathbf{T}_1] = \begin{bmatrix} T_{11} & 0 & T_{12} & 0 \\ 0 & T_{11} & 0 & T_{12} \\ T_{12} & 0 & T_{22} & 0 \\ 0 & T_{12} & 0 & T_{22} \end{bmatrix}, \quad [\mathbf{T}_2] = \begin{bmatrix} T_{11} & 0 & \frac{1}{2}T_{12} \\ 0 & T_{22} & \frac{1}{2}T_{12} \\ \frac{1}{2}T_{12} & \frac{1}{2}T_{12} & \frac{1}{4}(T_{11} + T_{22}) \end{bmatrix}$$

$$[\mathbf{G}_i] = \begin{bmatrix} \frac{\partial N_i}{\partial x_1} & 0 \\ 0 & \frac{\partial N_i}{\partial x_1} \\ \frac{\partial N_i}{\partial x_2} & 0 \\ 0 & \frac{\partial N_i}{\partial x_2} \end{bmatrix}, \quad [\mathbf{B}_i] = \begin{bmatrix} \frac{\partial N_i}{\partial x_1} & 0 \\ 0 & \frac{\partial N_i}{\partial x_2} \\ \frac{\partial N_i}{\partial x_2} & 0 \\ 0 & \frac{\partial N_i}{\partial x_1} \end{bmatrix} \quad \begin{array}{l} \mathbf{u} = [\mathbf{N}]\{\mathbf{a}\} \\ \dot{\mathbf{u}} = [\mathbf{N}]\{\dot{\mathbf{a}}\} \\ \mathbf{v} = [\mathbf{N}]\{\mathbf{c}\} \end{array}$$

$$[\mathbf{K}_1] = \int_R [\mathbf{B}]^T [\mathbf{L}] [\mathbf{B}] \det \mathbf{J} d\xi d\eta, \quad [\mathbf{K}_2] = \int_R [\mathbf{G}]^T [\mathbf{T}_1] [\mathbf{G}] \det \mathbf{J} d\xi d\eta$$

$$[\mathbf{K}_3] = - \int_R 2[\mathbf{B}]^T [\mathbf{T}_2] [\mathbf{B}] \det \mathbf{J} d\xi d\eta$$

$$[\mathbf{K}_5] = \int_{\partial R} ([\mathbf{N}]^T \{f_s\}) \otimes ([\mathbf{G}]^T \{m\}) \sqrt{\mathbf{J}^{-T} \mathbf{n} \cdot \mathbf{J}^{-T} \mathbf{n}} \det \mathbf{J} dI_R$$

本研究では平面ひずみ条件のもとで多孔質凝灰岩(大谷石)の構成則を用いて幅40mの剛体押し込み問題の大変形弾塑性解析をした。解析モデル、材料定数、解析結果(変位図、応力図)をFig. 4.1、Table 4-1、Fig. 4.2(a)、Fig. 4.2(b)に示す。

Table 4-1: Material constant

E	$2.2 \times 10^4 \text{ kgf/cm}^2$	b_2	4.144 MPa
ν	0.25	b_3	36.396 MPa
σ'_0	7400 MPa	ω_1	0.0002
σ_0	-5.344 MPa	ω_2	0.0002
a_1	-0.585 MPa	r_1	0.001
a_2	15.244 MPa	r_2	0.001
a_3	-10.547 MPa	K	7540 kgf/cm ²
b_1	-45.639 MPa	G	6470 kgf/cm ²

Fig. 4.2(a) 解析結果(変位図)

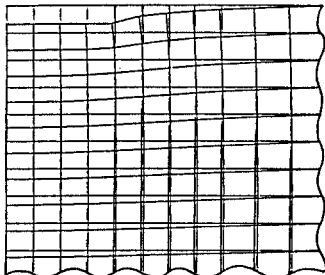


Fig. 4.1 解析モデル

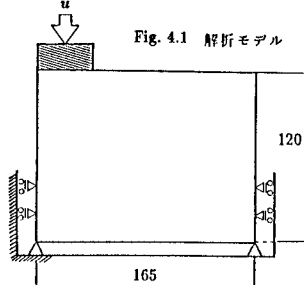
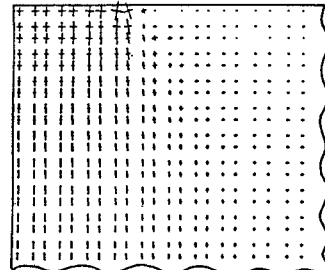


Fig. 4.2(b) 解析結果(応力図)



5 結論 1).Hill の有限ひずみ理論を導入して分岐条件を求め、極限状態におけるせん断帯の方向およびせん断成分の硬化係数との関係を明らかにすることができた。 2). 多重応答理論による大変形弾塑性解析のプログラムを作成した。 3). 解析では Updated Lagrange 法を用いたが、埋め込み座標ではなく直角直交座標系を用い、各ステップの stretching と spin を正しく評価した。

参考文献 1)Y.Ichikawa,T.Ito and Z.Mroz, A Strain Localization Condition Applying Multi-Response Theory Ingenieur-Archiv (to be appeared) 2)Hill, R., A General Theory of Uniqueness and Stability in Elastic-Plastic Solids, J. Mech. Phys. Solids, 6, 229-241, 1958 3)Rudnicki, J.W., and Rice, J.R., Condition for the Localization of Deformation in Pressure-Sensitive Dilatant Materials, J. Mech. Phys. Solids, 23, 371-394, 1975 4)Paolo Guidotti, Massimiliano Lucchesi, A Numerical Method For Solving Boundary-Value Problems in Finite Plasticity, MECCANICA, 23(1988), 43-54